

**PNOMOKONYOZLarda HEMODİNAMİK, RADYOLOJİK  
BULGULAR, SOLUNUM FONKSİYON TESTERİ,  
AKIM-VOLUM EĞRİSİ ve ARTER KAN GAZLARI'NIN  
DEĞERLENDİRİLMESİ**

Gülseren Karabıyikoğlu\*      Nezihe Enacar\*\*      Sevgi Bartu\*\*\*  
Güngör Çamsarı\*\*\*\*      Arif Keleşoğlu\*\*\*

Pnömokonyozlar inorganik tozların inhalasyonuyla olan çevre hastalığıdır. İnhale edilen tozların büyüklüğü, cinsi, inhale edilme şekli solunum yollarının özellikleri gibi nedenlerle hastalık değişik şekillerde görülür. En çok respiratuvar bronşiyoller ve distalindeki hava yolları zarar görür (2,5,6).

Pnömokonyoz vakalarında akciğer fonksiyon testleri 1955 yıllarından beri kullanılmıştır. Hastalarda erken evrede fonksiyonel kayıplar olmayıpabilir. Patolojik değişimeler küçük periferik hava yollarından başlar. Progressif massif fibrozis geliştiğinde solunum fonksiyonlarında belirgin azalma olur. Zamanla pulmoner hipertansiyon, sağ kalp yetmezliği ve hipertrofisiyle kronik korpusmonale ortaya çıkar (1,4, 6,7,9,10,11).

Bizde pnömokonyozlarda (140 vaka) prognozu ve maluliyeti saptamak amacıyla hemodinamik bulguları, solunum fonksiyon testlerini, (SFT) akım-volum eğrisi (F-V) parametrelerini, arter kan gazlarını (AKG) ve radyolojik bulguları değerlendirdik.

**MATERİYEL ve METOD**

Çalışmamızda A.Ü.T.F. Göğüs Hastalıkları ve Tüberküloz Anabilim Dalında 1980-1988 yılları arasında takip ettiğimiz 140 pnömokonyoz vakası alındı.

\* A.Ü.T.F. Göğüs Hast. ve Tbc. Anabilim Dalı Profesörü

\*\* A.Ü.T.F. Göğüs Hast. ve Tbc. Anabilim Dalı Başkanı

\*\*\* A.Ü.T.F. Göğüs Hast. ve Tbc. Anabilim Dalı Araştırma Görevlisi

\*\*\*\* Yedikule Göğüs Hastalıkları Başasistanı

Vakalarımızın 111'ine Grandjen yöntemine dayanan yüzen mikrokatetter uyguladık. Sağ kalp kavite basınçları, pulmoner arter basıncı, solunum varyasyonları yassılma ve bazı vakalarda pulmoner kapiller basınç kaydedildi.

Bu hastalarımızın 65 inde ergometrik bisiklet 5-10 dk. süreyle (30 wat) çevriltilerek efor yaptırıldı. Efor sonrası pulmoner arter basıncı, solunum varyasyonları ve yassılma kaydedildi.

Vakalarımızın 138'inde vantilatuvar testler Godart Expirograf cihazında yapıldı. FVC (Forced vital capacity), FEV<sub>1</sub>(Forced expiratory volum in 1 second), FEV<sub>1</sub>/FVC %, MMF (Maximal mid expiratory flow rate), MVV (maximal voluntary ventilation), RV (residual volume), RV/TLC %, TLC (total lung capacity).

Diffüzyon kapasitesi 35 vakamızda tek soluk (Singl breath) yöntemiyle ölçüldü. 30 vakamızda akım-volum (hacim) eğrisi değerleri (Flow-volum loop analysis : F-V) : PEFR (Peak expiratory flow rate), Vmax 25 (Maximal flow at 25 percent expired vital capacity : FEF 25 %), Vmax 50 (Maximal flow at 50 percent expired vital capacity : FEF 50 %), Vmax 75 (Maximal flow at 75 percent expired vital capacity : FEF 75 %), Gould Pulmograf sisteminde (Pulmograf and Pulmonary analysis computer) yapıldı. F-V her hastada 3 kez tekrarlandı ve bulguların ortalaması alındı.

Arter kan gazları için 0.5 cc kan 0.2 cc heparin enjektöre brakial arterden alındı. PH, PO<sub>2</sub>, PCO<sub>2</sub>, % O<sub>2</sub>, HCO<sub>3</sub>, ABL 330 Kan gazları analizöründe 131 vakada değerlendirildi.

Postero anterior akciğer filmi tüm vakalarımızda çekildi. 3 okuyucu tarafından ayrı ayrı zamanlarda değerlendirildi.

Vakalarımızın istatistikî değerlendirilimide A.Ü. Ziraat Fakültesi Biometri Genetik Anabilim Dalında ve A.Ü.T.F. Bioistatistik Bilim Dalında yapıldı. Parametreler arasındaki ilişki korelasyon katsayılarıyla bulundu.

## BULGULAR

Pnomokonyozlu hastalarımızın anamnezlerinde nefes darlığı, öksürük balgam çıkışma vardı. Hastalarımızın 120 si sigara içiyorlardı. Hastalarımızın hepsi erkek olup en küçük yaş 42 yıl, en büyük yaş 65 yıl idi. 120 Hastamız günde miktarı beş ila yirmi arasında değişen sigara içiyordu. 140 vakamızın 13'ü Antimon, 127'si taşkömürü oca-

ğında çalışmıştı. Vakalarımızdaki, akım-volum eğrisi parametreleri Tablo 1 de görülmektedir. FEV<sub>1</sub> 2219 cc, FEV<sub>1</sub>/FVC % si % 65.3, MMF 1.67 Lt/sn. idi.

Tablo 1 - Vakalarımızdaki vantilatuvar testler, arter kan gazları, diffüzyon kapasitesi ve maksimal ekspirasyon akım - volüm eğrisi değerleri

Parametre	Vaka sayısı	X±SX
FVC (cc)	138	3227±82
FEV <sub>1</sub> (%)	138	68.4±1.4
FEV <sub>1</sub> (cc)	138	2219±73
FEV <sub>1</sub> /FVC %	138	65.3±11
MMF (lt/sn)	49	1.67±0.12
MVV (lt)	49	72.5±3.8
RV	26	2337±211
RV/TLC %	28	36.5±21
Diffüzyon Kap.	35	17.08±0.97
PH	129	7.40±0.003
PO <sub>2</sub>	131	69.35±0.69
O <sub>2</sub> %	131	92.55±0.20
PCO <sub>2</sub>	107	37.79±0.46
HCO <sub>3</sub>	86	23.56±0.25
PEFR (cc)	30	5.60±0.37
PEFR (%)	30	65.3±3.9
FEF 25 (cc)	30	4.81±0.32
FEF 25 (%)	30	61.5±3.7
FEF 50 (cc)	30	2.72±0.18
FEF 50 (%)	30	53.1±3.3
FEF 75 (cc)	30	1.24±0.14
FEF 75 (%)	30	45±3

X±SX : Ortalamanın Standart Hatası

Diffüzyon kapasitesi 6 vakada 12 ml/min/mm/Hg altındaydı, bu vakalardaki radyolojik sınıflandırılmış ise 2'si p, 3'ü m, biriside nı idi. Arter kan gazlarına dair PO<sub>2</sub> 69.35 mmHg, % O<sub>2</sub> 92.5, PCO<sub>2</sub> 37.79 mmHg, PH 7.40'dı. FEF 50 % 53.1, FEF 75 % 45. Maximal expirasyon akım volum eğrisini değerlendirdiğimiz vakalarımızın 13'ü antimon maden ocağında, 17'si taş kömürü ocaklarında çalışmaktadır.

Hastalarımızın efor öncesi ve sonrası Hemodinamik bulguları Tablo II de görülmektedir. İstirahatte ortalama pulmoner arter basıncı % 65.5 inde (72 vakada) 18 mmHg nin üstündeydi. Tüm vakalarımızın istirahatteki ortalama pulmoner arter basıncı 20.29 mmHg idi. Efor yaptırıldığımiz 61 vakada efordan sonra bu değer 36.4 mmH ye yükseldi. Mikrokateter yaptığımız vakalarımızdaki radyolojik sınıflandırılmış ise : Ortalama pulmoner arter basıncı 14 - 18 mmHg olanların 29'u p iken, ortalama pulmoner arter basıncı 20 mmHg üzerinde olanlarda büyük opasiteler (8 vakada A,B,C, şekilleri) vardı.

Tablo II - Vakalarımızdaki Hemodinamik Parametreler

Parametre	Vaka sayısı	$X \pm SX$	
PA Sis.	111	$29.34 \pm 0.69$	İstirahatte
PA Dias.	111	$14.93 \pm 0.48$	
Ort. PAB	111	$20.29 \pm 0.60$	
Sol. Vary.	15	$16 \pm 1.9$	
Yassılma	9	$10.2 \pm 2.4$	
Kap	37	$8.11 \pm 0.46$	
PA Sis	65	$54.5 \pm 1.9$	Efor Sonrası
PA Dias	61	$34.5 \pm 1.6$	
Ort. PAB	61	$36.4 \pm 1.2$	
Sol. Vary.	38	$24.8 \pm 1.5$	
Yassılma	19	$10.9 \pm 1.1$	

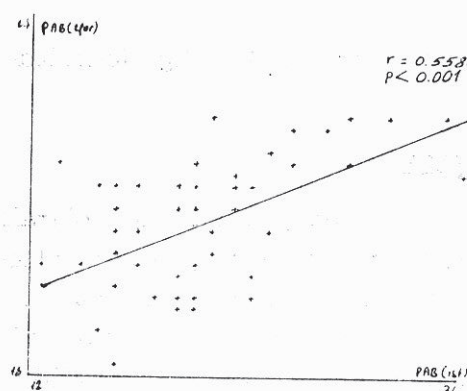
$X \pm SX$  : Ortalamanın standart Hatası

Tablo III de çeşitli parametreler arasındaki ilişkiler sunulmuştur. İstirahat ortalama pulmoner arter basıncıyla, efor ortalama pulmoner arter basıncı arasında; istirahatteki ortalama pulmoner arter basıncıyla istirahatteki solunum varyasyonları arasında; efor ortalama pulmoner arter basıncıyla solunum varyasyonları arasında ilişki saptandı. Sırasıyla ( $p < 0.001$  Şekil 1,  $p < 0.05$ ,  $p < 0.01$ ).

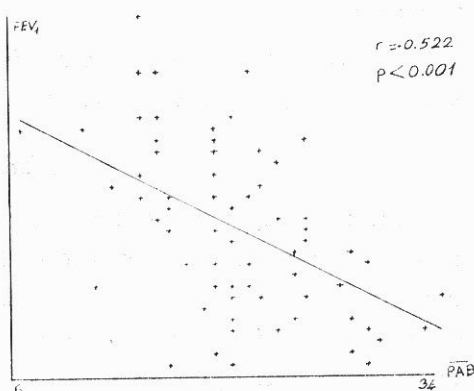
Ayrıca istirahatteki ortalama pulmoner arter basıncıyla spirometrik parametrelerden FVC arasında ( $p < 0.01$ );  $FEV_1$  % si arasında ( $p < 0.001$  Şekil 2)  $FEV_1$  volumu arasında ( $p < 0.01$ ) istatistik açıdan belirgin korelasyonlar saptandı.

Tablo III - Vakalarımızda değişik parametreler arasındaki ilişkiler

Parametreler	r	p
FVC (cc) — Diffüzyon Kap	0.370	< 0.05
FEV <sub>1</sub> (cc) — Diffüzyon Kap	0.356	< 0.05
FEV <sub>1</sub> (%) — Diffüzyon Kap	0.398	< 0.05
FEV <sub>1</sub> /FVC % — Diffüzyon Kap	0.340	< 0.05
Ort. PAB (İst) — FVC (cc)	— 0.483	< 0.001
Ort. PAB (İst) — FEV <sub>1</sub> (cc)	— 0.522	< 0.001
Ort. PAB (İst) — FEV <sub>1</sub> (%)	— 0.437	< 0.001
Ort. PAB (İst) — FEV <sub>1</sub> /FVC (%)	— 0.197	< 0.05
Ort. PAB (İst) — %O <sub>2</sub>	— 0.192	< 0.05
Ort. PAB (İst) — Solunum varyasyonu	0.542	< 0.05
Ort. PAB (İst) — Ort. PAB (efor)	0.558	< 0.001
Ort. PAB (efor) — Solunum varyasyonu (efor)	0.418	< 0.01
FEF50(cc) — FEV <sub>1</sub> (cc)	0.544	< 0.01
FEF50(cc) — MMF	0.537	< 0.01
FEF50(%) — FEV <sub>1</sub> (%)	0.438	< 0.05
FEF50(%) — MMF	0.383	< 0.05
FEF75 — MMF	0.397	< 0.05

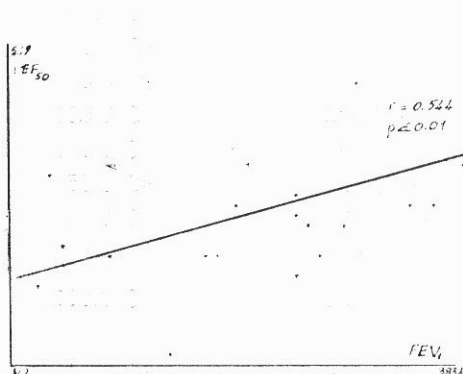


Şekil 1 : İstirahattaki ortalama pulmoner arter basıncıyla efordan sonraki ortalama pulmoner arter basıncı arasındaki korelesyon.

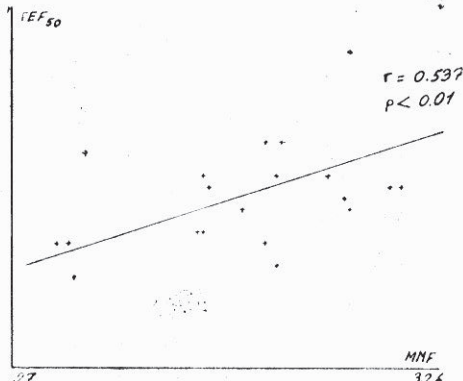


Şekil 2 : İstirahatteki ortalama pulmoner arter basıncı ile FEV<sub>1</sub> arasındaki korelasyon.

Maximal expirasyon akım volum eğrisi parametrelerinden FEF<sub>50</sub> (cc) ile FEV<sub>1</sub> (cc) arasında ( $p < 0.01$ ) (Şekil 3); FEF<sub>50</sub> (cc) ile MMF arasında ( $p < 0.01$ ) (Şekil 4) FEF<sub>50</sub> (%) ile FEV<sub>1</sub> (%) arasında ( $p < 0.05$ ); FEF<sub>50</sub> (%) ile MMF arasında ( $p < 0.05$ ); FEF<sub>75</sub> ile MMF arasında ( $p < 0.05$ ) ilişki vardı.



Şekil 3 : FEV<sub>1</sub> (cc) — FEF<sub>50</sub> (cc) arasındaki korelesyon.



Şekil 4 : FEF<sub>50</sub> (cc) — MMF arasındaki korelesyon.

Diffüzyon bakabildiğimiz vakalarımızdaki değerler spirometrik değerlerle karşılaştırıldı. Diffüzyon kapasitesiyle FVC (cc) arasında ( $p < 0.05$ ); diffüzyon kapasitesiyle FEV<sub>1</sub> (cc) arasında ( $p < 0.05$ ); FEV<sub>1</sub> (%) si arasında ( $p < 0.05$ ); FEV<sub>1</sub>/FVC % si arasında ( $p < 0.05$ ) ilişki saptandı.

140 vakamızın 26'sında büyük opasiteler (A,B,C,); diğerlerindedede küçük (p,q,r,) opasiteler vardı.

## TARTIŞMA

Pnömokonyozlar inorganik tozların inhalasyonuna bağlı olarak progressif massif fibrozisi kadar değişimelerle seyreden çevre hastalıklarıdır (2,11,10). Pnömokonyoz vakalarında pulmoner yatak hacmindeki progressif azalma, pulmoner damar direncindeki artmayla pulmoner hipertansiyon ve kronik korpulmonale ortaya çıkar. Özellikle istirahatte normal pulmoner arter basıncı bulunan bu vakalarda eftordan sonra pulmoner hipertansiyon saptanması hastaların maluliyetini ve прогнозunu göstermekte önemli bir kriterdir (1,2,3,5,6).

Lapp ve arkadaşları (8) kömür ocağında çalışan 47 işçide pulmoner arter basıncını egzersizde ve istirahatte araştırmışlar. Pulmoner hipertansiyonu 23 hastada saptamışlar ve bunların tümünde radyolojik olarak p tipini gösteriyormuş. Bizde istirahatte pulmoner hipertansiyonu 72 vakamızda (% 65.5) gözledik.

Bu vakaların 61 inde eforden sonra pulmoner arter basıncı 36.4 mmHg ye yükseldi. İstirahatte pulmoner arter basıncı 18 - 20 mmHg. olan vakaları 6 sı p1, 3 ü p2, 3 ü p3, 2 si q1, 6 sı q2, 3 ü q3, 2 si r1, 4 ü A, B, 1 C idi. Ortalama pulmoner arter basıncı 20 mmHg üzerinde olanlarda ise 12 si p1, 10 u p2, 8 i p3, 3 ü q1, 4 ü q2, 2 si q3, 11 i r1, 1 i r3, 1 i A, 5 i B, 2 si C idi.

Araştırmacılar ayrıca (8) ortalama pulmoner arter basıncıyla hava yolları obstrüksiyonu arasında ilişki gözlemişlerdir. Bizim vakalarımızda da bu ilişki belirgindi ( $p < 0.001$ ).

Basit pnömokonyozlarda fonksiyonel kayıplar olmaya bilir. Ancak ilk patolojik değişimler periferik hava yollarından başlar. Küçük hava yollarındaki obstrüksiyonlar maksimal ekspirasyon akım volum eğrileriyle belirgin olarak gösterilir. Peak expiratuvar flow rate, FEF50, FEF75 azalmıştır. Orta ve son segmentteki hava akımları volume paralel olmayan azalma gösterir (1,4,5,6). Yine Lapp ve arkadaşları (8) 93 kömür maden işçisinde sigara içen ve içmeyenlerde FEF75 deki azalmayı araştırmışlar. Sigara içenlerde belirgin azalma bulmuşlardır. Bizim vakalarımızda da FEF50 % 53.1, FEF75 % 45 idi. Bu parametrelerdeki azalma tozların küçük hava yollarındaki obstrüksiyonuna bağlıdır. Ayrıca bu parametrelerle FEV<sub>1</sub> ve MMF arasında korelasyonları bulmamızda; bu vakaların erken evrede saptanmalarında akım volum eğrilerinin çok duyarlı olduğunu göstermektedir.

Pnömokonyoz vakalarında obstrüktif nitelikte vantilatuvar bozukluklar olur. Endüstriyel bronşit toza maruz kalmadan ziyade sigara içimiyle ilgilidir. Fokal obstrüktif amfizemler gelişebilir. Ekspiratuvar akım hızlarıyla; yer altında kalma süresi ve sigara içimi arasında ilişkisi vardır (1,5,6).

Araştırcılar (8) Kömür madeni işçileride yaptıkları araştırmada MMF de azalma gözlemiştir, bu azalma ile kronik bronşit arasında ilişki bulmuşlardır. Bizim vakalarımızda da FEV<sub>1</sub> % 68.4, FEV<sub>1</sub>/FVC % 65.3, MMF 1.67lt/sn idi. Hava yollarında obstrüksiyonu gösteriyordu.

Bu hastalarda progressif massif fibrozis geliştiğinde restriktif tipde vantilatuvar bozukluklar olur. Vital kapasite azalır. Kuzey Gallerde arduvaz taş ocağında yapılan bir araştırmada; burada çalışan işçilerde vital kapasite ve zorlu eksipatuvar volümelerde azalma gözlemlenmiştir (1,7,8,11). Özellikle sigara içenlerde azalma daha da belirginmiş. Bizim vakalarımızda vital kapasite 3227 cc idi, hastalarımızın çoğunda sigara içiyordu. Progressif massif fibrosizli hastaların çoğunda, çoğu kez obstrüktif ve restriktif vantilatuvar bozukluklar birlikte bulunur. Bizim vakalarımızda da bu örnekleri birlikte gördük.

Pnomokonyozlarda diffüzyon kapasitesindeki azalma, akciğerlerde radyolojik patolojilerin olmadığı dönemlerde, erken evrede azalmış olabilir. Normal kişilerde egzersizle diffüzyon kapasitesi 2-2.5 kat artarken bu vakalarda belirgin azalma gösterir. (2,5,6,11,10). Ayrıca araştırmacılar (8) 133 bituminous madeninde çalışanlarda, hem istirahatte hemde orta egzersizde diffüzyon kapasitesini araştırmışlar, sigara içenlerde istirahatte ve egzersizde içmeyenlere göre belirgin azalma bulmuştardır. Bizde vakalarımızın 35 inde diffüzyon kapasitesine bakabildik, Ortalama DLCO 17.08 ml/min/mmHg idi. Bunların 6'sında DLCO 12 ml/min/mmHg altındaydı. Pnomokonyoz vakalarında solunum fonksiyon testleri normal olsa bile diffüzyon kapasitesindeki azalma doza bağlı maluliyetin başlangıcını göstermesi açısından değer taşırlı. DLCO su azalmış vakalarımızın 1 si p1, 1 si p2, 1 si q1, 1 si r3 dü. Diffüzyon kpasitesi q tipinde daha çok azalmıştı.

Bu vakalarda vantilasyondaki azalma, distribisyondaki bozulma, vantilasyon Perfüzyon oranındaki bozulma nedenleriyle oksijeninin parsiyel basıncı azalır, özellikle bu azalma egzersizle dahada belirginleşir (1,2,7,10,11). Geç evrelerde karbondioksit retansiyonu olur, fizyolojik ölü boşluk artar.

Literatürde(8) antrasit ve bitumonous ocağında çalışanlarda, çoklund aobstrüktif hava yolları hastalığı saptanmış. RV/TLC % sinde artma gözlenmiş. İstirahattede arteriyel PO<sub>2</sub> azalmıştı. VD/VT oranı oranına artmıştı. Alveoler-arter PO<sub>2</sub> farkı belirginleşmişti. Bizim vakalarımızda PO<sub>2</sub> 69 mmHg. % O<sub>2</sub> ise 95.5 olup hafif derecede hipoksemi vardı.

Sonuç olarak diyebilirizki pnomokonyoz progressif masif fibrozisle seyreden kronik bir hastalıktır. Bugüne kadar pnomokonyoz teşhis, ülkemizde radyolojik tetkiklere dayanmaktadır. Bunun objektif bir kriter olmaması ve farklı tekniklerle yapılan flimlerin yaniltması nedeniyle gerçek tanıda yanlışlıklar, farklılıklar herzaman gözlenmektedir.

Pnomokonyoz vakalarında maluliyet oranlarının değerlendirilmesinde, hastalığı nprognozunun saptanmasında radyolojik bulgular yanında hemodinamik bulgular, diffüzyon kapasitesi ve maksimal ekspirasyon akım volum eğrisi parametrilerinin birlikte değerlendirilmesi en objektif kriterlerdir.

## ÖZET

Pnomokonyozlar inorganik tozların inhalasyonuyla olan çevre hastalıklarıdır. Erken evrelerde fonksiyonel bozukluklar olmayabilir. Pulmoner fonksiyonlardaki belirgin değişimeler progressif massif fibrozis gelişliğinde görülür. Pulmoner hipertansiyon, sağ kalp yetmezliği ve hipertrofisi, kronik kor pulmonale zamanla olur.

Biz pnomokonyozlarda прогноз ve sakatlık derecesini saptamak için hemodinamik, radyolojik bulgular, akciğer fonksiyon testlerini akım-hacim halkasını arter kan gazlarını ve az bir vakada da diffüzyon kapasitesini araştırdık.

Hemodinamik bulguları Grandjean metoduna dayanan sağ kalp mikrokateteriyle, Solunum fonksiyon testlerini Godart Expirografıyla, Diffüzyon kapasitesini tek soluk metoduyla, akım-hacim halkası (maksimal ekspirasyon akım volüm) değerlerini Pulmograf ve Pulmoner Analysis kompütürde, Arter kan gazları ABL 330 cihazında değerlendirildi.

FVL/FVC % si % 65.3, MMF 1.67 lt/sn, PO<sub>2</sub> 69.35 mm Hg, O<sub>2</sub> saturasyonu % 92.5, FEF 50 % si % 53.1, FEF % 75 si % 45 di. Ort. PAB % 65.5 inde (72 hastada) 18 mmHg üstündeydi. İst. Ort. PAB 20.2 mmHg

iken egzersizden sonra değer 36.4 mmHg ye yükseldi. Biz pnmonokonyozlarda diğer testler yanında hemodinamik bulguların ve akım-hacim halkasının prognoz ve sakatlık tayininde değerli olduğunu gözledik.

## SUMMARY

### **Hemodynamic and Radiologic Findings, Pulmonary Function Tests, Maximal Expiratory Flow Volume Loop, Arterial Blood Gases Parameters Inour Cases of Pneumoconiosis**

Pneumoconioses are occupational diseases induced by inorganic dust inhalation. In these cases functional disorders may not be seen in early stage. However remarkable changes in pulmonary functions are seen when progressif massif fibrosis developed. Pulmonary hypertension develops followed by right heart failure and hypertrophia related with chronic cor pulmonale.

We have evaluated hemodynamic and radiologic findings, pulmonary function test flow-volume loop analysis, arterial blood gases in pneumoconiosis cases to obtain the degree of the prognosis and disability.

In our cases hemodynamic findings were obtained by flotan microcatheter which was based on Grandjean method. Pulmonary function tests by Godart Expiograph apparatus, Diffusing capacity by Single breath method, Maximal expiratory flow-volume loop parameters by pulmograph and pulmonary analysis computer, arterial blood gases analysis by ABL 330 were evaluated.

Our findings were FEV<sub>1</sub>/FVC % : 65.3 %, MMF 1.6 lt/sc, PO<sub>2</sub> 69.35 mmHg. O<sub>2</sub> % 92.5, FEF 50 53.1 %, FEF 75 45 %. Mean pulmonary artery pressure at rest was elevated above 18 mmHg in 65.5 % of our cases (72 cases). While the mean pulmonary artery pressure at rest was 20.2 mmHg for all of our cases after exercises this value was found to be 36.4 mmHg.

We concluded that in order to obtain disability and observation of the prognosis in pneumoconiosis besides the whole other tests hemodynamic findings and flow-volume loop parameters are extremely important.

**KAYNAKLAR**

1. Cotes JE, Steel J : Screening and examination procedures. Work related lung disorders. Blackwell Scientific Publications. Oxford, London, Edinburg, Boston, Palo Alto, Melbourne Page 78-121, 1987.
2. Crofton J, Douglas A : Silicosis. Respiratory Disease. 2 nd. Blackwell Scientific Publicationcations. Oxford, London, Edinburg, Melbourne Page 519, 1975.
3. Enacar N, Karabiyikoğlu G, Ekim N : Pnomokonyozlarda Pulmoner Hemodinamik araştırmalar ve efor testinin değeri. Tüberküloz Toraks 29 (1-4) : 104-108, 1981.
4. Hedenströn H, Malmber P : Optimal combinations of lung function tests in the detection of various types of early lung disease. Eur J Respir Dis. 71, 273-275, 1987.
5. Hinsaw HC, Murray JF : Clinic, laboratory and radiographic sign sin silicosis. Disease of the chest. 4 nd. W.B. Saunders Company. Philadelphia, London, Toronto Page 718, 1980.
6. Issalbacher KJ, Adams RD, Braunwald E, Petersdor RJ, Wilson JD : Pulmonary Function tests in silicosis. Harison's : Principles of internal Medicine, Ninth Edition. Mc Graw Hill Kogasuska. Tokyo, Aucland, Bogota, Guatemale, Sydney Page 1220, 1980.
7. Kilburn KH, Warshaw R : Pulmonary function testing for occupational epidemiology and disability. Wilson AF : Pulmonary function testing indications interpretations. Grune Stratton. Harcourt Brace Jovancvich Publishers. Orlando Newyork, Sandiago Sydney Toronto Page 329, 1985.
8. Lapp NL, Morgan WKC : Respiratory disease in Coal Miners. Am. Rev. Respir. Dis. 113, 531-559, 1976.
9. Weil H : Pulmonary function testing industry stry. Journal of occupational Medicine Volum 15, No 9 Page 694, 1973.

10. Zenz C : Occupational Medicine. Principles and Practical Applications. Batigelli : Mc : Determination of fitness to work. Year book Medical Publishars. 25 East Wacker Drive Chicago. Page 127. 1975.
11. Ziskind M, Jones RN, Hans R : Silicosis. Am Rev Respir Dis. 113 Pafe 643, 1976.